

НАБЛЮДЕНИЕ АНАЛОГА ЭФФЕКТА ДЖОЗЕФСОНА НА СПИНОВОМ ТОКЕ

*A. С. Боровик-Романов, Ю. М. Буньков, А. де Ваард¹⁾,
В. В. Дмитриев, В. Макроциева²⁾, Ю. М. Мухарский,
Д. А. Сергацков.*

Проведены исследования характера протекания спинового тока, переносящего продольную намагниченность ${}^3\text{He}-B$ сквозь узкое отверстие. Экспериментально наблюдался переход от режима протекания тока со сбросом фазы к безгистерезисной зависимости тока от разности фаз параметра порядка.

Протекание сверхпроводящего тока между сверхпроводниками, разделенными туннельным переходом и обусловленное разностью фаз параметра порядка было предсказано Джозефсоном. В настоящее время эффектом Джозефсона принято называть также протекание через слабую связь электрического тока в сверхпроводниках (см. ¹) и массового сверхтекущего тока в ${}^3\text{He}$ и ${}^4\text{He}$ ² в случае, когда токо-фазовая зависимость безгистерезисная (однозначная). Куперовские пары в сверхтекучем ${}^3\text{He}$ обладают магнитным моментом. В результате в ${}^3\text{He}$ возможен сверхтекущий перенос магнитного момента – спиновый сверхток (см. ³). В ряде теоретических ⁴ и экспериментальных ⁵ работ было показано, что в ${}^3\text{He}-B$ можно осуществить уникальную ситуацию при которой удается наблюдать перенос намагниченности на макроскопические расстояния сверхтекучим спиновым током. Пространственная ориентация намагниченности ${}^3\text{He}-B$ в условиях описываемых экспериментов жестко связана с ориентацией вектора \mathbf{n} , описывающего спиновую часть параметра порядка. В результате градиенты фаз спиновой части параметра порядка удается записать в виде градиентов углов отклонения (β) и прецессии (α) намагниченности S , а также измерять эти углы во время экспериментов. Согласно ⁴ сверхток компоненты намагниченности, продольной магнитному полю S_z определяются градиентами углов α и β . Если $\nabla\alpha \perp H$ и $\nabla\beta = 0$, то

$$J_{S_z} = -(x/\gamma)(1 - \cos\beta)[(1 - \cos\beta)c_{\parallel}^2 + (1 + \cos\beta)c_{\perp}^2] \nabla\alpha, \quad (1)$$

где c_{\perp} и c_{\parallel} – скорости спиновых волн.

В работе ⁶ экспериментально исследовалось протекание тока J_S через длинный узкий капилляр и был обнаружен эффект сброса фазы. В данной статье описаны условия эксперимента, в котором наблюдалась безгистерезисная зависимость тока (эффект Джозефсона). Эксперименты проводились аналогично описанным в ⁶. Две экспериментальные камеры, заполненные ${}^3\text{He}-B$, были соединены каналом $\phi 1,2$ мм и длиной 4,5 мм. В центре канала была сделана перетяжка $\phi 0,48$ мм, проекция которой показана на врезке к рис. 1. В обеих камерах возбуждались домены с однородной прецессией намагниченности (ОПД). ОПД образуется при достаточной амплитуде радиочастотного (РЧ) поля в тех частях камеры, в которых магнитное поле меньше, чем $\omega_{\text{РЧ}}/\gamma$, ($\omega_{\text{РЧ}}$ – частота РЧ поля). В ОПД S отклонена на угол $\geq 104^\circ$. Возникающий при этом сдвиг частоты ЯМР компенсирует неоднородность внешнего магнитного поля, так что частота и фаза прецессии S внутри ОПД в первом приближении однородна. Эта однородность поддерживается протеканием спиновых сверхтоков (см. ^{4, 5}). Фаза прецессии ОПД однозначно связана с фазой возбуждающего РЧ поля. Описываемые эксперименты проводились в поле с однородным градиентом ($\nabla|H|$) направ-

¹⁾ Камерлинг–Оннес лаборатория, Лейден, Нидерланды.

²⁾ Институт экспериментальной физики, Кошице, ЧССР.

ленным вдоль поля, что позволяло контролировать пространственное расположение доменов. ОПД и невозмущенный ^3He разделены доменной границей с характерным размером $2\lambda = 2(c_{\parallel}^2 / \omega_{\text{рч}} \gamma \nabla H)^{1/3}$. В доменной границе β плавно меняется от 104° до 0° . В центре доменной границы $\gamma H = \omega_{\text{рч}}$ ⁴. Поэтому доменную границу можно передвигать, изменения магнитное поле. Схема экспериментальной камеры и принципиальная схема эксперимента представлены на рис. 1.

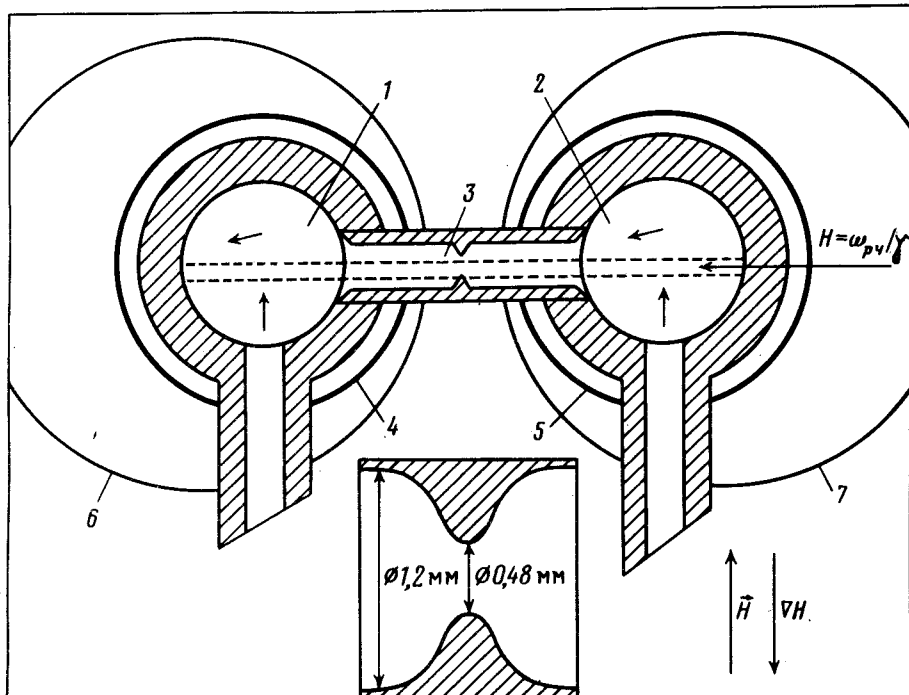


Рис. 1. Эскиз экспериментальной камеры, 1, 2 – экспериментальные объемы, 3 – канал, 4, 5 – катушки ЯМР, 6, 7 – медные экраны. Пунктиром выделена область расположения доменной границы. На врезке показан профиль сужения в канале

Для образования разности фаз прецессии на концах канала, частоты РЧ полей в камерах растирались на 0,01 Гц. Возникавший вдоль канала спиновый сверхток переносил S_z и следовательно зеемановскую энергию $S_z H$. В результате изменялась РЧ мощность, поглощаемая ОПД. По изменению этой мощности мы измеряли величину тока S_z . Эксперименты проводились в полях 71, 142 и 284 Э при давлении 0 и 20 бар при температуре до 0,3 T_c .

Для спинового тока в ^3He можно ввести длину ξ , которая аналогична длине когерентности Гинзбурга – Ландау в сверхпроводимости⁷. Она зависит от разности частот прецессии ОПД и ларморовской частоты в канале $\omega_k = \gamma H_k$

$$\xi = c_{\perp} (\omega_{\text{рч}} (\omega_{\text{рч}} - \omega_k))^{-1/2}. \quad (2)$$

Соответственно меняя H и приближая ω_k к $\omega_{\text{рч}}$ можно ожидать, что ξ окажется порядка размеров перехода канала. При этом, по аналогии со сверхпроводимостью, токово-фазовая зависимость может стать безгистерезисной. Наибольшая область полей при которых наблюдался эффект Джозефсона была получена при $\omega_k = 230$ кГц при $P = 0$ бар. На рис. 2 показаны типичные зависимости тока от разности фаз прецессии в зависимости от малого изменения поля ΔH . Для того, чтобы прокалибровать расположение доменной границы ОПД относительно канала, был измерен наклон линейного участка токо-фазовых зависимостей при малой разности фаз (см. рис. 3). Как следует из формулы (1) этот наклон должен быть прак-

тически постоянным, когда в канале расположен ОПД, и уменьшаться при прохождении через канал доменной границы. На рис. 3 показаны зависимости $\partial J / \partial \Delta\varphi$ от ΔH для $\nabla H = 0,9 \text{ Э/см}$ (\bullet, \circ) и $0,15 \text{ Э/см}$ (\diamond, \blacklozenge). Шкала ΔH выбрана так, что величина $\partial J / \partial \Delta\varphi$ обращается в ноль в одной точке для обеих зависимостей. Символами (\bullet, \blacklozenge) показаны точки, в которых получены безгистерезисные токо-фазовые зависимости. Видно, что они получены в условиях, когда в канале находилась доменная граница.

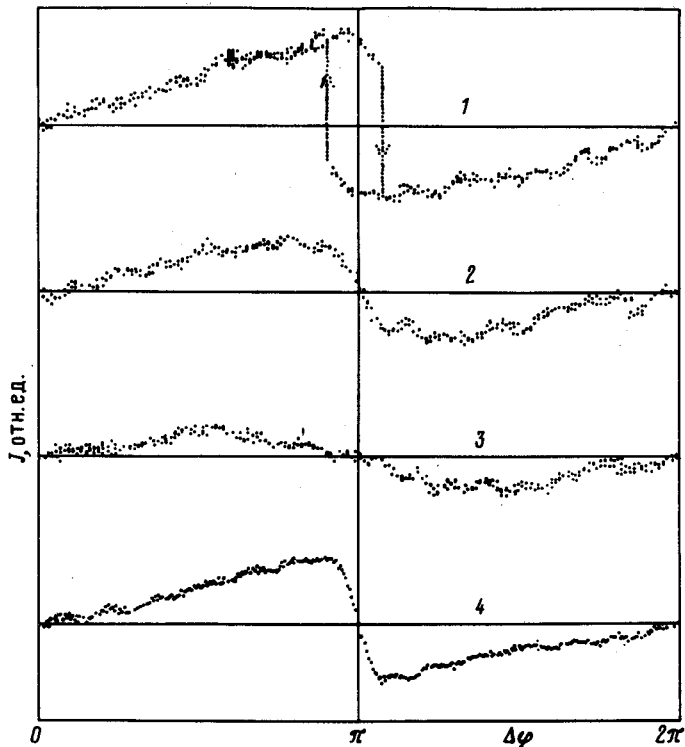


Рис. 2. Экспериментальные зависимости спинового тока от разности фаз прецессии между ОПД

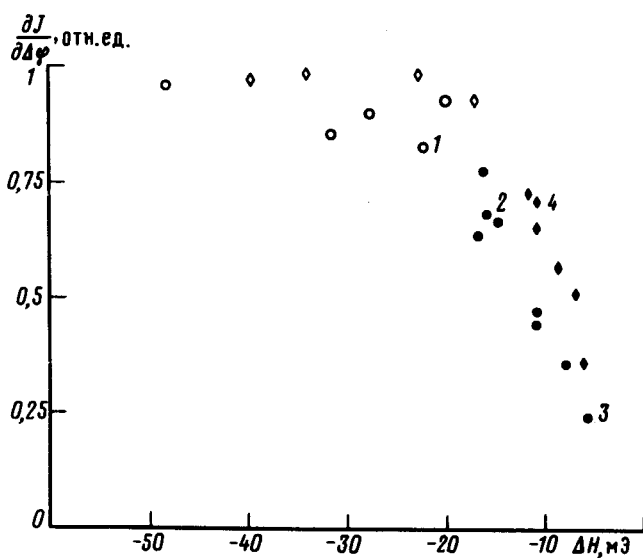


Рис. 3. Зависимость $\partial J / \partial (\Delta\varphi)$ от разности магнитных полей на доменной границе и в канале при малых ($\Delta\varphi$). Цифрами обозначены экспериментальные точки, представленные на рис. 2

Наблюдаемые токо-фазовые зависимости имеют не синусоидальную форму. Отклонение токо-фазовых зависимостей в эффекте Джозефсона от синусоидальной формы принято рассматривать в модели, предложенной для сверхпроводимости Лихаревым^{1, 2}. В работе⁷

Маркеловым было показано, что для спинового тока это рассмотрение не правомочно. Там же была предложена модель для описания спинового тока между доменами. Так как в нашей экспериментальной ситуации ток течет между двумя доменными стенками, мы не можем пользоваться моделью Маркелова. Однако следует заметить, что качественно форма наблюдаемых токо-фазовых зависимостей близка как к модели Лихарева, так и, в пределе $\beta \rightarrow 104^\circ$, к модели Маркелова (см. запись 4 на рис. 2).

В заключение мы выражаем глубокую благодарность И.А.Фомину и А.В.Маркелову за полезные обсуждения этой работы.

Литература

1. *Likharev K.K.* Rev. Mod. Phys., 1979, 51, 101.
2. *Avenel O., Varoquaux E.* Phys. Rev. Lett., 1988, 60, 416.
3. *Leggett A.J.* Rev. Mod. Phys., 1976, 47, 331.
4. *Фомин И.А.* ЖЭТФ, 1985, 88, 2039.
5. *Боровик-Романов А.С., Буньков Ю.М., Дмитриев В.В. и др.* ЖЭТФ, 1985, 88, 2025.
6. *Боровик-Романов А.С., Буньков Ю.М., Дмитриев В.В., Мухарский Ю.М.* Письма в ЖЭТФ, 1987, 47, 98.
7. *Маркелов А.В.* ЖЭТФ, 1988, 93, 156.

Институт физических проблем
Академии наук СССР

Поступила в редакцию
14 марта 1988 г.